

LABEL PLACEMENT BY MAXIMUM INDEPENDENT SET IN RECTANGLES

Moritz Halm

25. Juni 2018

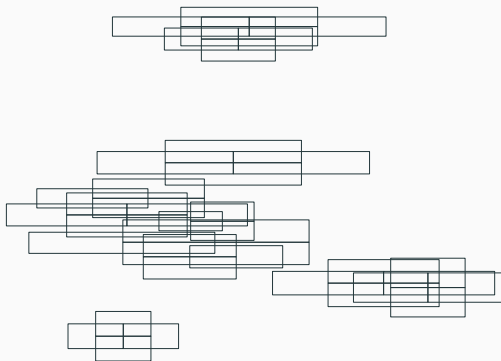
ITI Wagner, Proseminar Algorithmen für NP-schwere Probleme

MOTIVATION

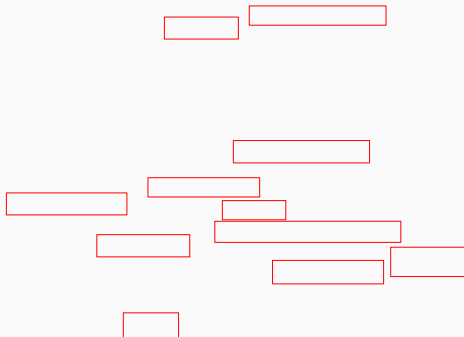
Beschriftete Karten



Beschriftete Karten



Beschriftete Karten



Für quadratische Labels:

- Exakter superpolynomieller Algorithmus [Kuc+93]
- 2-Approximation für variable Labelgröße in $\mathcal{O}(n \log n)$ (optimal) [FW91]

Maximum Independent Set in Rectangles

Geg. Menge von n achsenparallelen Rechtecken R ,
finde $I \subseteq R : \forall r, s \in I, r \neq s : r \cap s = \emptyset$, sodass $|I|$ maximal.

Maximum Independent Set in Rectangles

Geg. Menge von n achsenparallelen Rechtecken R ,
finde $I \subseteq R : \forall r, s \in I, r \neq s : r \cap s = \emptyset$, sodass $|I|$ maximal.

- NP-schwer

Maximum Independent Set in Rectangles

Geg. Menge von n achsenparallelen Rechtecken R ,
finde $I \subseteq R : \forall r, s \in I, r \neq s : r \cap s = \emptyset$, sodass $|I|$ maximal.

- NP-schwer
- Aber approximierbar (Hier vorgestellt [AKS98])

Eindimensionaler Fall

Beliebige achsenparallele Rechtecke: $1/\log_2(n)$ -Approximation

Rechtecke gleicher Höhe: $1/(1 + 1/k)$ -Approximation

EINDIMENSIONALER FALL

Activity Selection Problem

Finde für eine Menge M von Intervallen („Aktivitäten“) $(begin_i, end_i)$ Teilmenge $I \subseteq M$, mit $\forall r, s \in I, r \neq s : r \cap s = \emptyset$ und $|I|$ maximal.



Activity Selection Problem

Finde für eine Menge M von Intervallen („Aktivitäten“) $(begin_i, end_i)$ Teilmenge $I \subseteq M$, mit $\forall r, s \in I, r \neq s : r \cap s = \emptyset$ und $|I|$ maximal.



Optimal in $\mathcal{O}(n \log n)$ Zeit lösbar.

Algorithmus: ACTIVITYSELECTOR

Sortiere M nach Endpunkten

$I = \{M[0]\}$

$k = 0$

for i from 1 to n:

 if $\text{begin}[i] \geq \text{end}[k]$:

$k = i$

$I = I \cup \{M[i]\}$

return I





BEISPIEL



BEISPIEL



BEISPIEL



BEISPIEL



BELIEBIGE ACHSENPARALLELE
RECHTECKE: $1/\log_2(n)$ -APPROXIMATION

Vorbereitung: Sortiere alle vertikalen Kanten nach x-Koordinate.

Vorbereitung: Sortiere alle vertikalen Kanten nach x-Koordinate.

1. Falls $n = |R| \leq 2$, berechne I direkt (Basisfall)

Vorbereitung: Sortiere alle vertikalen Kanten nach x-Koordinate.

1. Falls $n = |R| \leq 2$, berechne I direkt (Basisfall)
2. Sei \tilde{x} Median aller x-Koordinaten und $\ell: x = \tilde{x}$ Linie durch \tilde{x} .

Vorbereitung: Sortiere alle vertikalen Kanten nach x-Koordinate.

1. Falls $n = |R| \leq 2$, berechne I direkt (Basisfall)
2. Sei \tilde{x} Median aller x-Koordinaten und $\ell: x = \tilde{x}$ Linie durch \tilde{x} .
3. Partitioniere R :
 $R_1 := \{r \in R \mid r \text{ links von } \ell\}$
 $R_2 := \{r \in R \mid r \text{ rechts von } \ell\}$
 $R_{12} := \{r \in R \mid r \text{ schneidet } \ell\}$

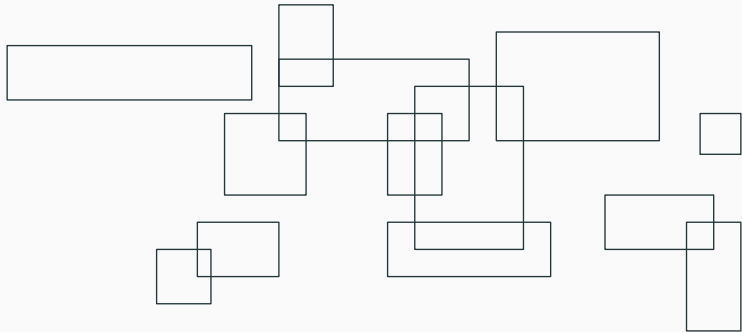
Vorbereitung: Sortiere alle vertikalen Kanten nach x-Koordinate.

1. Falls $n = |R| \leq 2$, berechne I direkt (Basisfall)
2. Sei \tilde{x} Median aller x-Koordinaten und $\ell: x = \tilde{x}$ Linie durch \tilde{x} .
3. Partitioniere R :
 $R_1 := \{r \in R \mid r \text{ links von } \ell\}$
 $R_2 := \{r \in R \mid r \text{ rechts von } \ell\}$
 $R_{12} := \{r \in R \mid r \text{ schneidet } \ell\}$
4. Berechne unabhängige Teilmengen $I_1 := I(R_1)$ und $I_2 := I(R_2)$ rekursiv, $I_{12} := I(R_{12})$ direkt mit ACTIVITYSELECTOR.

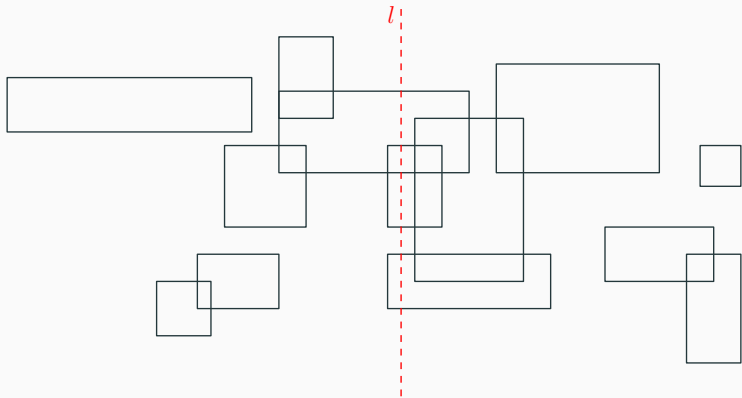
Vorbereitung: Sortiere alle vertikalen Kanten nach x-Koordinate.

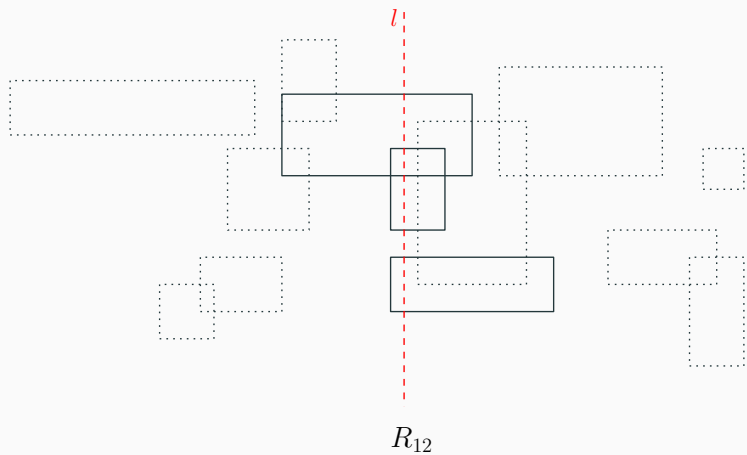
1. Falls $n = |R| \leq 2$, berechne I direkt (Basisfall)
2. Sei \tilde{x} Median aller x-Koordinaten und $\ell: x = \tilde{x}$ Linie durch \tilde{x} .
3. Partitioniere R :
 $R_1 := \{r \in R \mid r \text{ links von } \ell\}$
 $R_2 := \{r \in R \mid r \text{ rechts von } \ell\}$
 $R_{12} := \{r \in R \mid r \text{ schneidet } \ell\}$
4. Berechne unabhängige Teilmengen $I_1 := I(R_1)$ und $I_2 := I(R_2)$ rekursiv, $I_{12} := I(R_{12})$ direkt mit ACTIVITYSELECTOR.
5. Wenn $|I_{12}| > |I_1| + |I_2|$ gib I_{12} zurück, sonst $I_1 \cup I_2$.

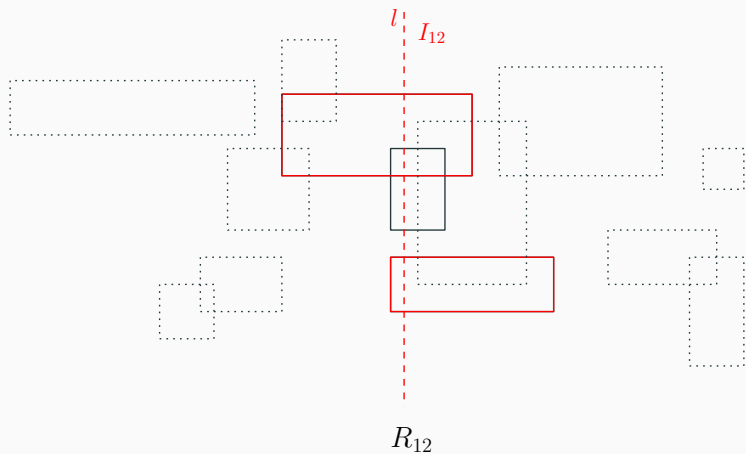
BEISPIEL

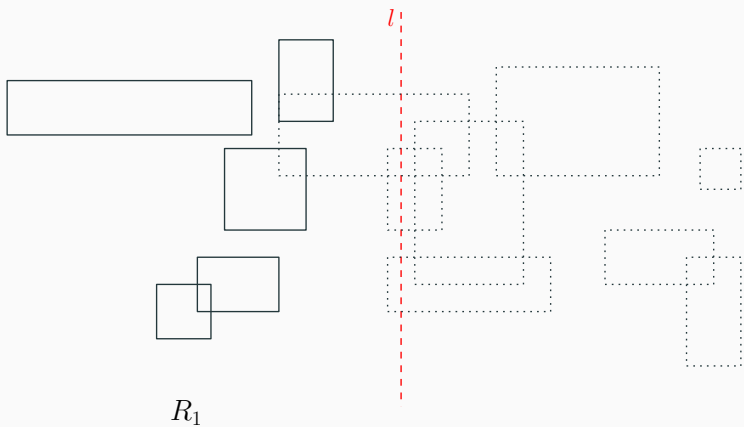


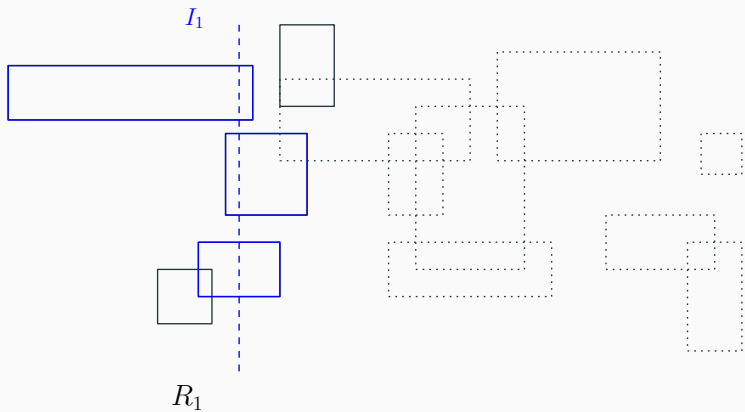
BEISPIEL

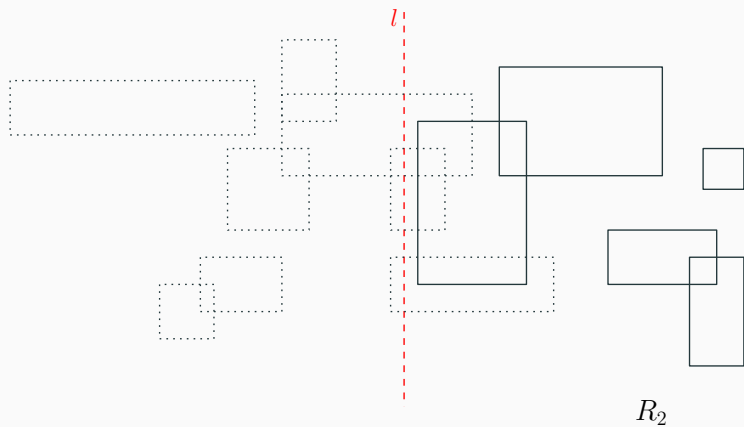


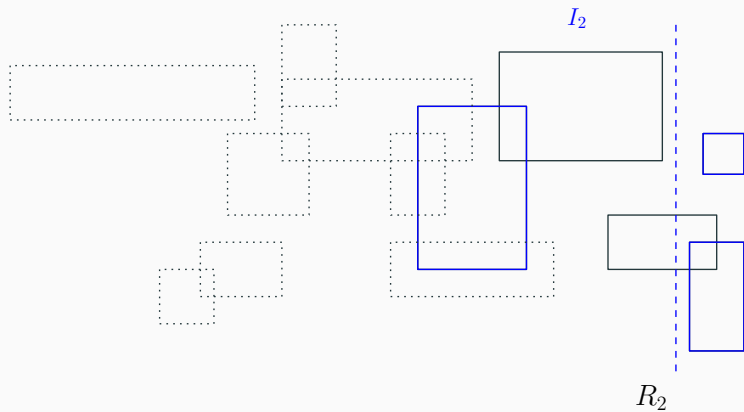




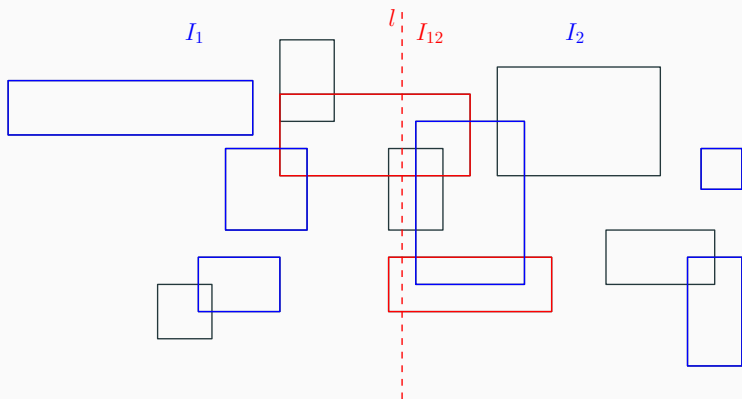




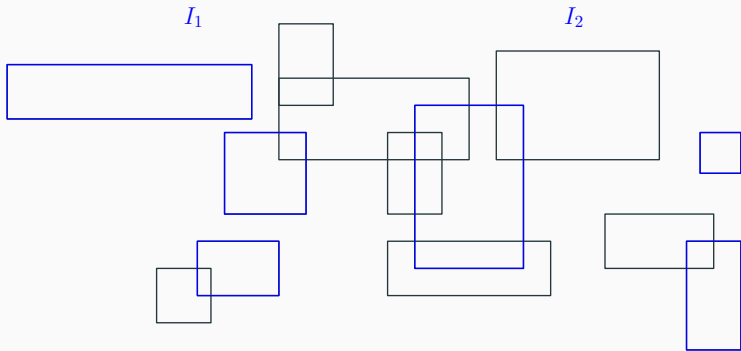




BEISPIEL



BEISPIEL



1. Vorberechnung: Sortieren in $\mathcal{O}(n \log n)$.

1. Vorberechnung: Sortieren in $\mathcal{O}(n \log n)$.
2. Partitionierung in $\mathcal{O}(n)$ auf jeder Rekursionsstufe.

1. Vorberechnung: Sortieren in $\mathcal{O}(n \log n)$.
2. Partitionierung in $\mathcal{O}(n)$ auf jeder Rekursionsstufe.
Rekursionstiefe in $\mathcal{O}(\log n)$ (da $|R_1|, |R_2| \leq \frac{n}{2}$).

1. Vorberechnung: Sortieren in $\mathcal{O}(n \log n)$.
2. Partitionierung in $\mathcal{O}(n)$ auf jeder Rekursionsstufe.
Rekursionstiefe in $\mathcal{O}(\log n)$ (da $|R_1|, |R_2| \leq \frac{n}{2}$). Insgesamt $\mathcal{O}(n \log n)$.

1. Vorberechnung: Sortieren in $\mathcal{O}(n \log n)$.
2. Partitionierung in $\mathcal{O}(n)$ auf jeder Rekursionsstufe.
Rekursionstiefe in $\mathcal{O}(\log n)$ (da $|R_1|, |R_2| \leq \frac{n}{2}$). Insgesamt $\mathcal{O}(n \log n)$.
3. ACTIVITYSELECTOR für jedes Rechteck höchstens einmal.
Insgesamt $\mathcal{O}(n \log n)$.

Gesamtlaufzeit: $\mathcal{O}(n \log n)$

Notation:

$I^*, I_1^*, I_2^*, I_{12}^*$: *maximum* independent sets von R, R_1, R_2, R_{12} .

I, I_1, I_2, I_{12} : vom Algorithmus berechnete independent sets von R, R_1, R_2, R_{12} .

GÜTEGARANTIE (1)

Notation:

$I^*, I_1^*, I_2^*, I_{12}^*$: *maximum* independent sets von R, R_1, R_2, R_{12} .

I, I_1, I_2, I_{12} : vom Algorithmus berechnete independent sets von R, R_1, R_2, R_{12} .

Zu zeigen: Der Algorithmus liefert eine $\frac{1}{\log n}$ -Approximation, d.h.

$$|I| \geq \frac{|I^*|}{\log n}.$$

GÜTEGARANTIE (1)

Notation:

$I^*, I_1^*, I_2^*, I_{12}^*$: maximum independent sets von R, R_1, R_2, R_{12} .

I, I_1, I_2, I_{12} : vom Algorithmus berechnete independent sets von R, R_1, R_2, R_{12} .

Zu zeigen: Der Algorithmus liefert eine $\frac{1}{\log n}$ -Approximation, d.h.

$$|I| \geq \frac{|I^*|}{\log n}.$$

Beweis: (induktiv)

Induktionsanfang: $n \leq 2$

Es gilt: $|I| = |I^*| \geq \frac{|I^*|}{\log n}$. ✓

GÜTEGARANTIE (2)

IV: $|I| \geq \frac{|I^*|}{\log n'}$ für $n' < n$.

IS: Zeige $\max(|I_{12}|, |I_1| + |I_2|) \geq \frac{|I^*|}{\log n}$.

GÜTEGARANTIE (2)

IV: $|I| \geq \frac{|I^*|}{\log n'}$ für $n' < n$.

IS: Zeige $\max(|I_{12}|, |I_1| + |I_2|) \geq \frac{|I^*|}{\log n}$.

Beobachtungen:

$$(i) |I_{12}| = |I_{12}^*| \geq |I^* \cap R_{12}|$$

GÜTEGARANTIE (2)

IV: $|I| \geq \frac{|I^*|}{\log n'}$ für $n' < n$.

IS: Zeige $\max(|I_{12}|, |I_1| + |I_2|) \geq \frac{|I^*|}{\log n}$.

Beobachtungen:

$$(i) |I_{12}| = |I_{12}^*| \geq |I^* \cap R_{12}|$$

$$(ii) |I_1| \stackrel{IV}{\geq} \frac{|I_1^*|}{\log |R_1|} \stackrel{|R_1| \leq n/2}{\geq} \frac{|I_1^*|}{\log n-1} \geq \frac{|I^* \cap R_1|}{\log n-1} \quad (I_2 \text{ analog})$$

GÜTEGARANTIE (2)

IV: $|I| \geq \frac{|I^*|}{\log n'}$ für $n' < n$.

IS: Zeige $\max(|I_{12}|, |I_1| + |I_2|) \geq \frac{|I^*|}{\log n}$.

Beobachtungen:

$$(i) |I_{12}| = |I_{12}^*| \geq |I^* \cap R_{12}|$$

$$(ii) |I_1| \stackrel{IV}{\geq} \frac{|I_1^*|}{\log |R_1|} \stackrel{|R_1| \leq n/2}{\geq} \frac{|I_1^*|}{\log n-1} \geq \frac{|I^* \cap R_1|}{\log n-1} \quad (I_2 \text{ analog})$$

Fall 1: $|I^* \cap R_{12}| \geq \frac{|I^*|}{\log n}$.

GÜTEGARANTIE (2)

IV: $|I| \geq \frac{|I^*|}{\log n'}$ für $n' < n$.

IS: Zeige $\max(|I_{12}|, |I_1| + |I_2|) \geq \frac{|I^*|}{\log n}$.

Beobachtungen:

$$(i) |I_{12}| = |I_{12}^*| \geq |I^* \cap R_{12}|$$

$$(ii) |I_1| \stackrel{IV}{\geq} \frac{|I_1^*|}{\log |R_1|} \stackrel{|R_1| \leq n/2}{\geq} \frac{|I_1^*|}{\log n-1} \geq \frac{|I^* \cap R_1|}{\log n-1} \quad (I_2 \text{ analog})$$

Fall 1: $|I^* \cap R_{12}| \geq \frac{|I^*|}{\log n}$. Dann folgt mit (i): $|I_{12}| \geq \frac{|I^*|}{\log n}$. ✓

GÜTEGARANTIE (2)

IV: $|I| \geq \frac{|I^*|}{\log n'}$ für $n' < n$.

IS: Zeige $\max(|I_{12}|, |I_1| + |I_2|) \geq \frac{|I^*|}{\log n}$.

Beobachtungen:

$$(i) |I_{12}| = |I_{12}^*| \geq |I^* \cap R_{12}|$$

$$(ii) |I_1| \stackrel{IV}{\geq} \frac{|I_1^*|}{\log |R_1|} \stackrel{|R_1| \leq n/2}{\geq} \frac{|I_1^*|}{\log n-1} \geq \frac{|I^* \cap R_1|}{\log n-1} \quad (I_2 \text{ analog})$$

Fall 1: $|I^* \cap R_{12}| \geq \frac{|I^*|}{\log n}$. Dann folgt mit (i): $|I_{12}| \geq \frac{|I^*|}{\log n}$. ✓

Fall 2: $|I^* \cap R_{12}| < \frac{|I^*|}{\log n}$. Es gilt:

GÜTEGARANTIE (2)

IV: $|I| \geq \frac{|I^*|}{\log n'}$ für $n' < n$.

IS: Zeige $\max(|I_{12}|, |I_1| + |I_2|) \geq \frac{|I^*|}{\log n}$.

Beobachtungen:

$$(i) |I_{12}| = |I_{12}^*| \geq |I^* \cap R_{12}|$$

$$(ii) |I_1| \stackrel{IV}{\geq} \frac{|I_1^*|}{\log |R_1|} \stackrel{|R_1| \leq n/2}{\geq} \frac{|I_1^*|}{\log n-1} \geq \frac{|I^* \cap R_1|}{\log n-1} \quad (I_2 \text{ analog})$$

Fall 1: $|I^* \cap R_{12}| \geq \frac{|I^*|}{\log n}$. Dann folgt mit (i): $|I_{12}| \geq \frac{|I^*|}{\log n}$. ✓

Fall 2: $|I^* \cap R_{12}| < \frac{|I^*|}{\log n}$. Es gilt:

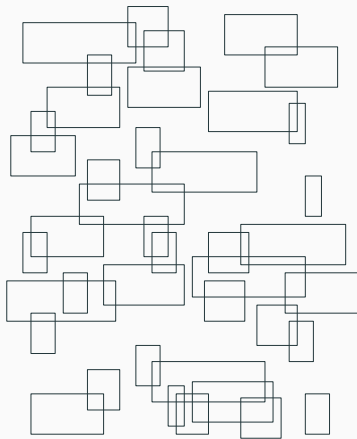
$$\begin{aligned} |I_1| + |I_2| &\stackrel{(ii)}{\geq} \frac{|I^* \cap R_1| + |I^* \cap R_2|}{\log n-1} = \frac{|I^*| - |I^* \cap R_{12}|}{\log n-1} \stackrel{\text{Fall 2}}{\geq} \frac{|I^*| - \frac{|I^*|}{\log n}}{\log n-1} \\ &= |I^*| \cdot \frac{1 - \frac{1}{\log n}}{\log n-1} = |I^*| \cdot \frac{\log n - 1}{\log n \cdot (\log n - 1)} = \frac{|I^*|}{\log n} \quad \checkmark \end{aligned}$$

□

RECHTECKE GLEICHER HÖHE:

$1/(1 + 1/k)$ -APPROXIMATION

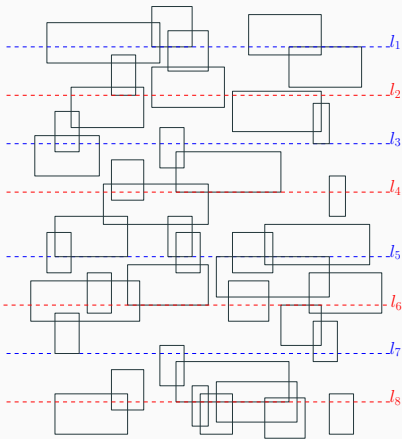
Jetzt: Alle Rechtecke haben Höhe 1.



Jetzt: Alle Rechtecke haben Höhe 1.

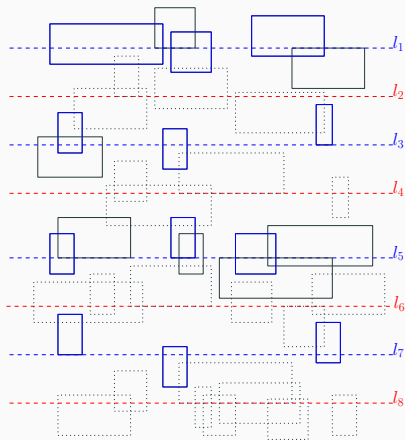
Idee: Zeichne Linien l_1, \dots, l_m , sodass jedes Rechteck von genau einer Linie geschnitten wird (greedy)

- Induziert Partitionierung:
 $R = R_1 \cup \dots \cup R_m$
- Rechtecke in R_i schneiden nur Rechtecke in R_{i-1} , R_i und R_{i+1} .



SPEZIALFALL $k = 1$

- Berechne I_1, \dots, I_m mit
ACTIVITYSELECTOR
($\mathcal{O}(n \log n)$)
- $I_{\text{odd}} := I_1 \cup I_3 \cup I_5 \dots$ und
 $I_{\text{even}} := I_2 \cup I_4 \cup I_6 \dots$ sind
maximum independent
sets.
- $|I_{\text{odd}}| \geq |I^* \cap (R_1 \cap R_3 \dots)| \geq$
 $\frac{|I^*|}{2}$ oder $|I_{\text{even}}| \geq$
 $|I^* \cap (R_2 \cap R_4 \dots)| \geq \frac{|I^*|}{2}$



ERWEITERUNG AUF GRÖßERE k : DEFINITIONEN

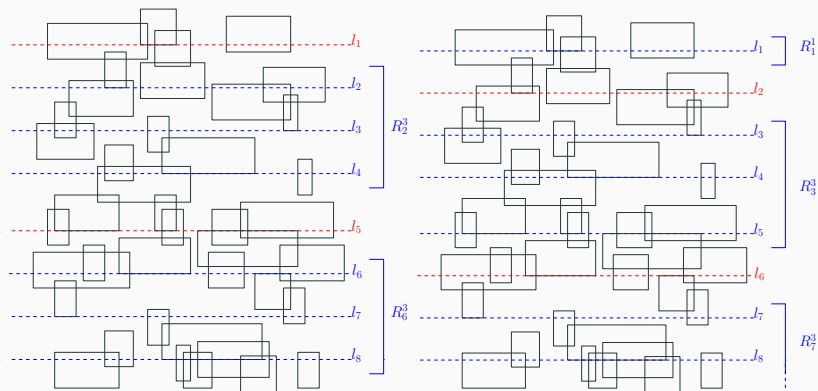


Abbildung 1: Die Gruppen G_1 und G_2 für $k = 3$.

- Blöcke aus k Linien: $R_i^k := R_i \cup \dots \cup R_{i+k-1}$
 - Gruppen: $G_j := R_1^{j-1} \cup \bigcup_{i \geq 0} R_{i(k+1)+j+1}^k = R \setminus \bigcup_{i \geq 0} R_{i(k+1)+j}$
- $(1 \leq j \leq k+1)$

Annahme: Wir können ein maximum independent set $I^*(R_X^k)$ auf einem Block berechnen.

Annahme: Wir können ein maximum independent set $I^*(R_x^k)$ auf einem Block berechnen.

- Dann ist $I^*(G_j) = I^*(R_1^{j-1}) \cup \bigcup_{i \geq 0} I^*(R_{i(k+1)+j+1}^k)$, da sich die Blöcke nicht überschneiden.

Annahme: Wir können ein maximum independent set $I^*(R_x^k)$ auf einem Block berechnen.

- Dann ist $I^*(G_j) = I^*(R_1^{j-1}) \cup \bigcup_{i \geq 0} I^*(R_{i(k+1)+j+1}^k)$, da sich die Blöcke nicht überschneiden.
- Verschiebe Blöcke (alle Gruppen durchprobieren)

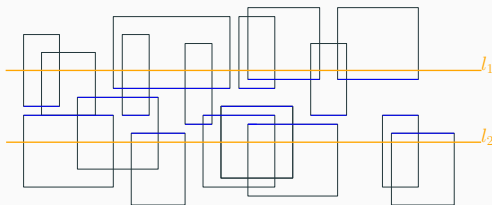
$$I := \max_{j \in [1, k+1]} I^*(G_j)$$

MAXINDEPSET AUF BLOCK DER HÖHE k

Betrachte zunächst nur Blöcke der Höhe $k = 2$

MAXINDEPSET AUF BLOCK DER HÖHE k

Betrachte zunächst nur Blöcke der Höhe $k = 2$



Seien

- X die aufsteigend sortierten x -Koordinaten aller vertikalen Kanten
- Y die aufsteigend sortierten y -Koordinaten der Unterkanten der Rechtecke in R_1 und der Oberkanten der Rechtecke in R_2

DYNAMISCHE PROGRAMMIERUNG (DP)

Dann definiert $\tau = (p, q, t)$ ($x_p, x_q \in X, y_t \in Y$) eine Polylinie und R_τ die Rechtecke links davon:

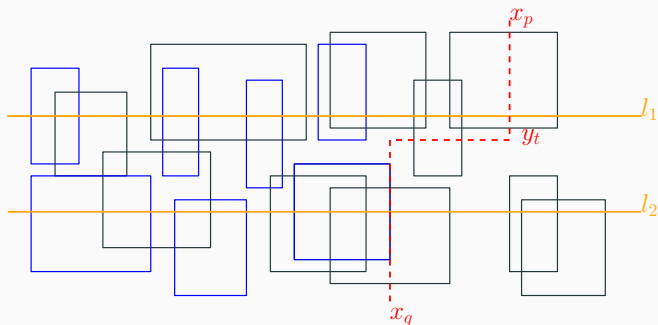


Abbildung 2: Polygonale Linie. $A[p, q, t] = 7$

DYNAMISCHE PROGRAMMIERUNG (DP)

Dann definiert $\tau = (p, q, t)$ ($x_p, x_q \in X, y_t \in Y$) eine Polylinie und R_τ die Rechtecke links davon:

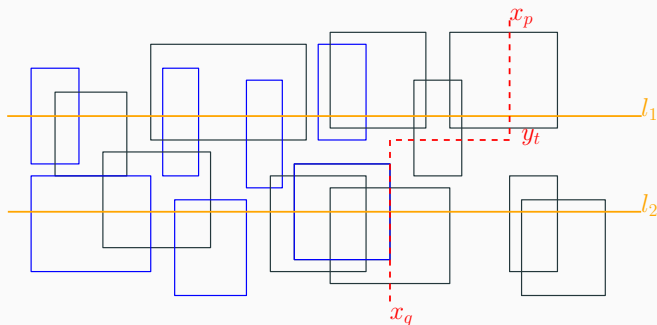


Abbildung 2: Polygonale Linie. $A[p, q, t] = 7$

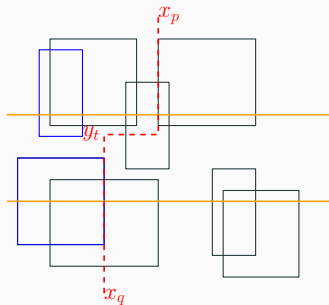
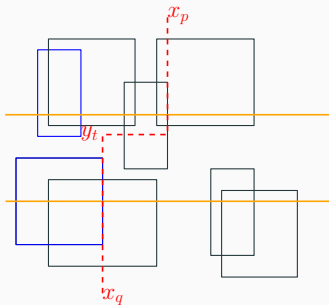
Dreidimensionale DP-Tabelle A , wobei $A_{p,q,t} = A_\tau = |I^*(R_\tau)|$.

Sei O.b.d.A. $p > q$.

DP: FALL 1

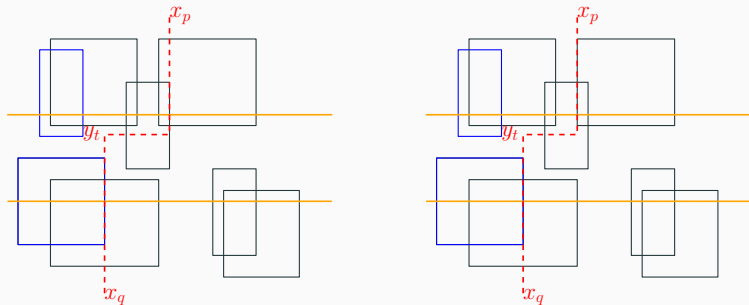
Sei O.b.d.A. $p > q$.

Fall 1: x_p ist keine rechte Kante eines Rechteckes $r \in R_\tau \cap R_1$



Sei O.b.d.A. $p > q$.

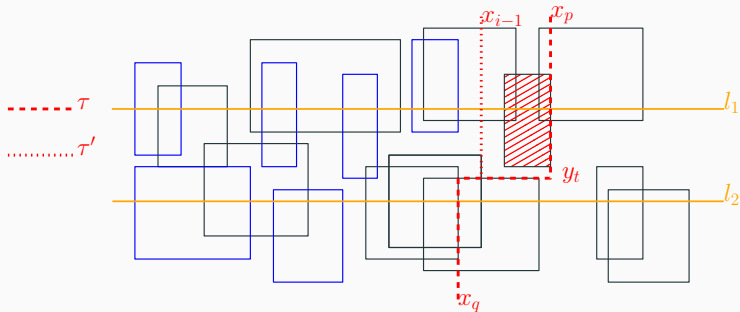
Fall 1: x_p ist keine rechte Kante eines Rechteckes $r \in R_\tau \cap R_1$



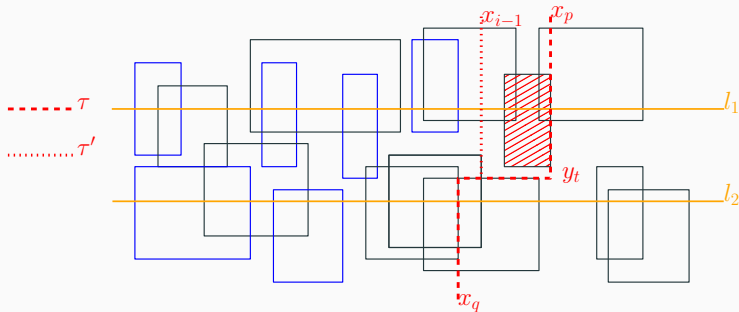
$\Rightarrow r \notin R_\tau$

$\Rightarrow A[p, q, t] = A[p - 1, q, t]$

Fall 2: x_p ist rechte Kante eines Rechteckes $r \in R_\tau \cap R_1$ mit linker Kante x_i und $i > q$:

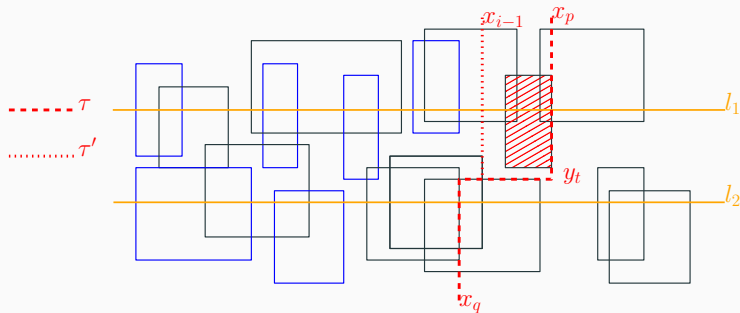


Fall 2: x_p ist rechte Kante eines Rechteckes $r \in R_\tau \cap R_1$ mit linker Kante x_i und $i > q$:



Rechtecke, die r nicht schneiden, liegen links von $\tau' = (i - 1, q, j)$

Fall 2: x_p ist rechte Kante eines Rechteckes $r \in R_\tau \cap R_1$ mit linker Kante x_i und $i > q$:

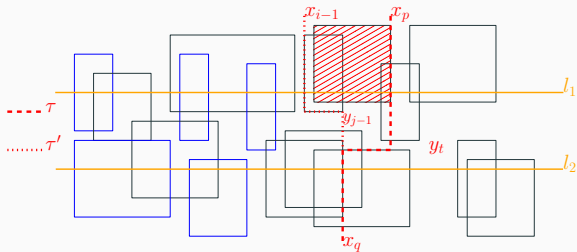


Rechtecke, die r nicht schneiden, liegen links von

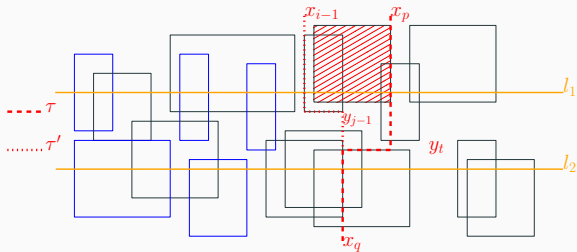
$$\tau' = (i - 1, q, j)$$

$$\Rightarrow A[p, q, t] = \max(A[p - 1, q, t], A[i - 1, q, j] + 1)$$

Fall 3: x_p ist rechte Kante eines Rechteckes $r \in R_\tau \cap R_1$ mit linker Kante x_i , Unterkante y_j und $i \leq q$:

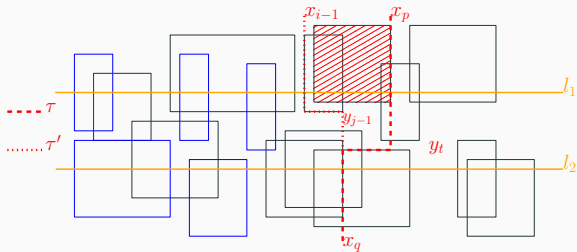


Fall 3: x_p ist rechte Kante eines Rechteckes $r \in R_\tau \cap R_1$ mit linker Kante x_i , Unterkante y_j und $i \leq q$:



Rechtecke, die r nicht schneiden, liegen links von
 $\tau' = (i - 1, q, j - 1)$

Fall 3: x_p ist rechte Kante eines Rechteckes $r \in R_\tau \cap R_1$ mit linker Kante x_i , Unterkante y_j und $i \leq q$:



Rechtecke, die r nicht schneiden, liegen links von

$$\tau' = (i - 1, q, j - 1)$$

$$\Rightarrow A[p, q, t] = \max(A[p - 1, q, t], A[i - 1, q, j - 1] + 1)$$

- Sortieren und in Linien unterteilen $\mathcal{O}(n \log n)$

- Sortieren und in Linien unterteilen $\mathcal{O}(n \log n)$
- DP mit $k = 2$: $\sum_{i=1}^{m-1} \mathcal{O}((|R_i| + |R_{i+1}|)^3) = \mathcal{O}(n^3)$

- Sortieren und in Linien unterteilen $\mathcal{O}(n \log n)$
- DP mit $k = 2$: $\sum_{i=1}^{m-1} \mathcal{O}((|R_i| + |R_{i+1}|)^3) = \mathcal{O}(n^3)$
- Analog für $k > 2$:
 - Polylinie mit k Stufen (k vertikale und $k - 1$ horizontale Segmente)
 - \Rightarrow Laufzeit: $\mathcal{O}(n^{2k-1})$

- Sortieren und in Linien unterteilen $\mathcal{O}(n \log n)$
- DP mit $k = 2$: $\sum_{i=1}^{m-1} \mathcal{O}((|R_i| + |R_{i+1}|)^3) = \mathcal{O}(n^3)$
- Analog für $k > 2$:
 - Polylinie mit k Stufen (k vertikale und $k - 1$ horizontale Segmente)
 - \Rightarrow Laufzeit: $\mathcal{O}(n^{2k-1})$

Insgesamt $\mathcal{O}(n \log n + n^{2k-1})$

Zu zeigen: $|| \leq \frac{|I^*|}{1+1/k}$

Zu zeigen: $|I| \leq \frac{|I^*|}{1+1/k}$

- Differenz zur optimalen Lösung:

$$|I^*| - |I| \leq |I^* \cap (R \setminus G_j)| \leq \frac{|I^*|}{k+1}$$

Zu zeigen: $|I| \leq \frac{|I^*|}{1+1/k}$

- Differenz zur optimalen Lösung:

$$|I^*| - |I| \leq |I^* \cap (R \setminus G_j)| \leq \frac{|I^*|}{k+1}$$

- *Schubfachprinzip*: Verteile $|I^*|$ viele Rechtecke auf $k+1$ „Fächer“ $R \setminus G_j$

Zu zeigen: $|I| \leq \frac{|I^*|}{1+1/k}$

- Differenz zur optimalen Lösung:

$$|I^*| - |I| \leq |I^* \cap (R \setminus G_j)| \leq \frac{|I^*|}{k+1}$$

- *Schubfachprinzip*: Verteile $|I^*|$ viele Rechtecke auf $k+1$ „Fächer“ $R \setminus G_j$

- Umstellen:

$$\Leftrightarrow (k+1) \cdot (|I^*| - |I|) \leq |I^*|$$

$$\Leftrightarrow (k+1) \cdot |I^*| - |I^*| \leq (k+1) \cdot |I|$$

$$\Leftrightarrow |I| \geq |I^*| - \frac{|I^*|}{k+1} = |I^*| \cdot \left(1 - \frac{1}{k+1}\right) = |I^*| \cdot \frac{k+1-1}{k+1} = |I^*| \cdot \frac{1}{1+1/k}$$

Independent Sets auf n achsenparalleln Rechtecken:

1. Divide-and-Conquer-Algorithmus

- $1/\log_2(n)$ -Approximation
- Laufzeit $\mathcal{O}(n \log n)$

Independent Sets auf n achsenparalleln Rechtecken:

1. Divide-and-Conquer-Algorithmus

- $1/\log_2(n)$ -Approximation
- Laufzeit $\mathcal{O}(n \log n)$

2. Auf Rechtecken gleicher Größe (DP-Algorithmus)

- $1/(1 + 1/k)$ -Approximation
- Laufzeit $\mathcal{O}(n \log n + n^{2k-1})$



P.K. Agarwal, M. van Kreveld und S. Suri. “Label placement by maximum independent set in rectangles”. In: *Computational Geometry 11* (1998), S. 209–218.



M. Formann und F. Wagner. “A packing problem with applications to lettering of maps”. In: *ACM Sympos. comput. Geom* (1991), S. 281–288.



L. Kucera u. a. “Exact algorithms for a geometric packing problem”. In: *Theoret. Aspects Comput. Sci., Lecture Notes in Computer Science* 665 (1993), S. 317–322.